



PERÚ

Ministerio
de la ProducciónIMARPE
INSTITUTO DEL MAR DEL PERÚ

BOLETÍN SEMANAL OCEANOGRÁFICO Y BIOLÓGICO-PESQUERO

Año 10, N° 43

Semana 43: 20 - 26 de octubre de 2025

RESUMEN

- La anomalía promedio de la temperatura superficial del mar (TSM), descendió 0,1 °C en la región Niño 3.4 (-0,63 °C) y ascendió 0,29 °C en la Región Niño 1+2 (+0,04 °C), con respecto a la semana anterior, de acuerdo al producto OSTIA.
- La variación de la anomalía del nivel del mar indica el arribo de la Onda Kelvin (OK) cálida frente a la costa norte del Perú, así como la finalización del efecto de la OK fría frente a la costa centro y sur.
- Las aguas con TSM<20 °C continuaron replegándose hacia el Golfo de Guayaquil, permitiendo el avance hasta Punta Sal de las Aguas Tropicales Superficiales (ATS) y hasta Punta Falsa de las Aguas Ecuatoriales Superficiales (AES), generando anomalías cálidas de hasta +2,3 °C (Sullana) a inicios de la semana. Estas condiciones fueron favorecidas por el arribo de la OK cálida y el debilitamiento de los vientos, lo que a su vez, conllevó al leve acercamiento de las Aguas Subtropicales Superficiales (ASS) hacia la costa centro y sur; así como a la disminución de la extensión de la banda de aguas con TSM<17 °C, prevaleciendo entre Chicama y Atico.
- Entre San Juan de Marcona y Morro Sama, según información *in situ* a nivel superficial, se presentaron anomalías cálidas de hasta +4 °C (Punta Bombón) dentro de las 60 mn y la intromisión inusual de las ASS. En la columna de agua sobre los 100 m, a 43 mn de Huacho, se registró la atenuación de las anomalías negativas, alcanzando -1,9 °C (a 52 m). Hacia el sur, dentro de las 80 mn frente Atico destacó un leve afloramiento costero limitado por la irrupción de las ASS hasta los 100 m que determinaron anomalías positivas de hasta +3,0 °C. En las 60 mn frente a Ilo, el calentamiento térmico fue más somero con una intensidad leve y una mayor contribución de las aguas costeras frías (ACF) con anomalías frías de hasta -2,0 °C sobre los 100 m, asociadas al efecto remanente de la onda Kelvin fría.

PRONÓSTICO

- Entre el 28 de octubre y el 02 de noviembre, entre Máncora y Atico, se espera que la velocidad del viento (VV) se mantenga en el rango moderado a fuerte en el sector oceánico y en la costa central. Fuera de esta zona y en la franja muy costera persistirían VV débiles a moderadas. El 28 y 29 se prevén anomalías positivas de la VV frente a la costa centro-norte y anomalías negativas frente a la costa centro-sur, disminuyendo a valores negativos (< -1,0 m/s) frente a toda la costa peruana, el 30 y 31. El 01 y 02 de noviembre, volverían anomalías positivas en la franja costera.
- De acuerdo con el modelo MERCATOR, en la región Niño 1+2 hasta el 5 de noviembre, se espera la presencia de anomalías negativas de la TSM en el rango neutro, con valores de hasta -0,5 °C.

Callao, lunes 27 de octubre del 2025

Servicio de Información Oceanográfica del Fenómeno El Niño (SIOFEN)

Dirección General de Investigaciones en Oceanografía y Cambio Climático (DGIOCC) y

Dirección General de Investigaciones de Recursos Pelágicos (DGIRP)

Instituto del Mar del Perú (IMARPE)

I. CONDICIONES DE MACROESCALA

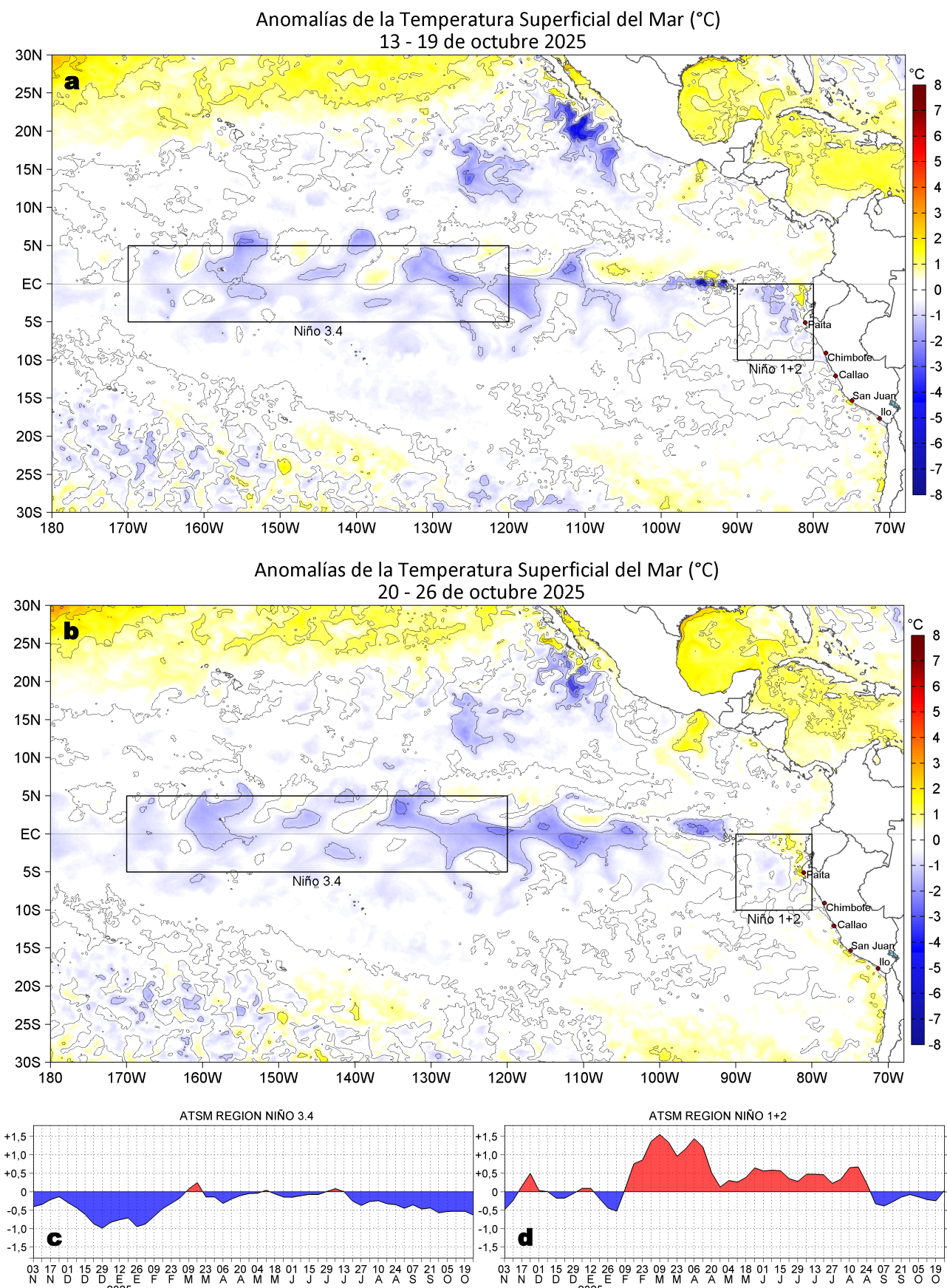


Figura 1. Anomalías promedio de la temperatura superficial del mar (TSM, °C) en el océano Pacífico tropical del 13 al 19 de octubre (a) y del 20 al 26 de octubre (b) del 2025, así como la variación del promedio semanal durante el último año para la región Niño 3.4 (c) y la región Niño 1+2 (d). Las regiones Niño 3.4 y Niño 1+2 en los sectores central y oriental del océano, respectivamente, están delimitadas con una línea de color gris. Datos: OSTIA-UKMO-L4-GLOB-v2.0 (UK Met Office, 2012; Donlon et al, 2012). Climatología: 1991-2020.

II. CONDICIONES DE MESOESCALA

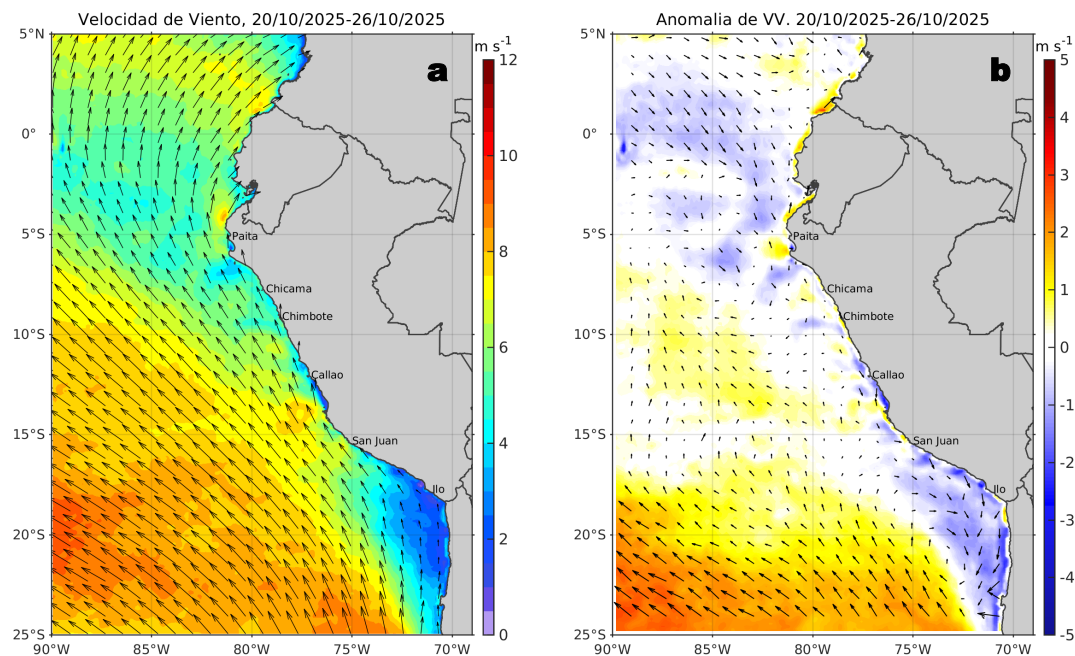


Figura 2. Distribución espacial promedio de: a) la velocidad (m/s) y dirección del viento (°) y b) anomalías de la velocidad (m/s) y dirección del viento (°) frente a la costa peruana del 20 al 26 de octubre del 2025. La velocidad del viento y su anomalía se presentan en matices de colores a la derecha. La dirección del viento y su anomalía se presentan con flechas. Fuente de los datos: CMEMS. Climatología: 2000-2020.

Entre Máncora y Atico, la velocidad del viento (VV) se mantuvo en el rango moderado (4,1 a 6,8 m/s) a fuerte (6,8 a 10,4 m/s) en el sector oceánico y frente a la costa central; al sur de Atico y en la franja bien costera central se mantuvo principalmente en el rango débil (<4,1 m/s). Frente a la costa peruana predominaron anomalías negativas de la VV, con mayor intensidad en la costa sur, mientras que en el sector oceánico destacaron anomalías positivas.

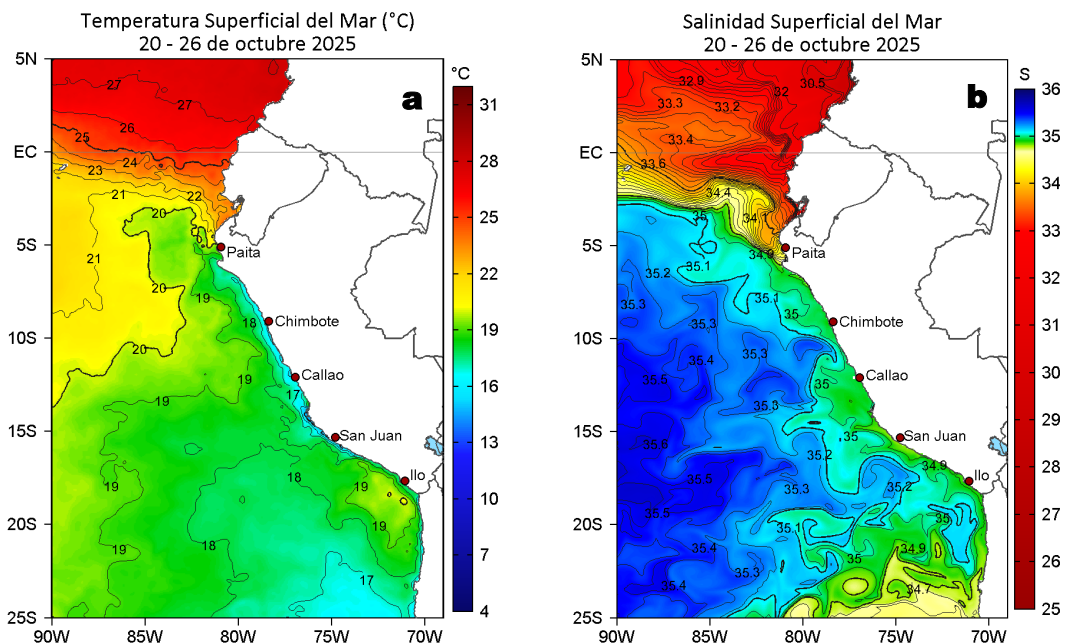


Figura 3. Distribución espacial promedio de la: a) Temperatura superficial del Mar (TSM, °C) y b) Salinidad superficial del mar (SSM) del 20 al 26 de octubre del 2025. Datos: OSTIA-UKMO-L4-GLOB-v2.0 (UK Met Office, 2012; Donlon et al, 2012) para (a) y del GLOBAL_ANALYSISFORECAST_PHY_001_024 (Lellouche, J. M. et al, 2013) para (b).

La TSM en la franja adyacente al litoral peruano varió entre 24,1 °C (Tumbes) y 14,5 °C (Bahía Independencia). Las aguas con TSM<20 °C continuaron disminuyendo su proyección hacia el norte, ubicándose hasta el sur del Golfo de Guayaquil. En paralelo se observó la intromisión de las aguas con TSM>20 °C con límite frente a Paita y el incremento de las anomalías cálidas de hasta +2,3 °C frente a Sullana (Figura 1b). La extensión de la banda de aguas con TSM<17 °C disminuyó considerablemente, ubicándose entre Chicama y Atico (Figura 3a). Según el modelo Mercator (Figura 3b), destacan la intromisión de las Aguas Tropicales Superficiales (ATS; SSM<33,8) y de las Aguas Ecuatoriales Superficiales (AES; 33,8<SSM<34,8) hacia Punta Sal y Punta Falsa, respectivamente. Hacia el sur, hubo un leve acercamiento de las Aguas Subtropicales Superficiales (ASS; SSM>35,1) hacia la costa, asociado a la disminución en cobertura de las aguas costeras frías (ACF; 34,8<SSM<35,1).

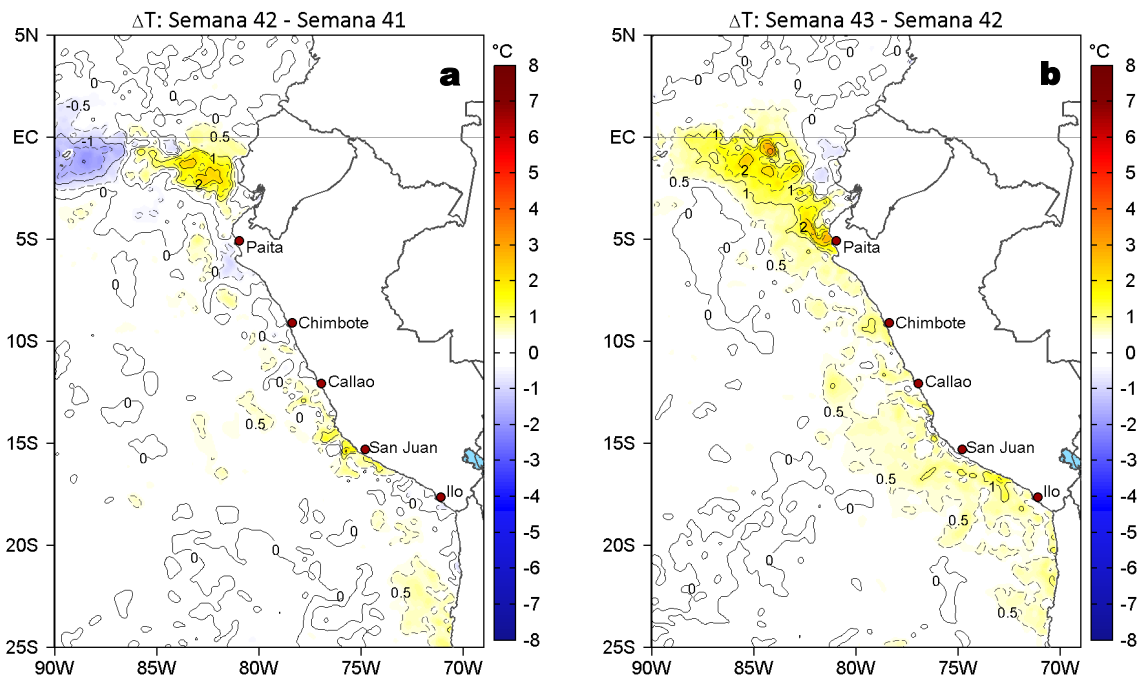


Figura 4. Variación semanal de la TSM ($^{\circ}$ C) en el océano Pacífico tropical oriental entre: a) cuadragésima segunda (13 - 19 de octubre) y cuadragésima primera (06 - 12 de octubre) semana de 2025 y b) cuadragésima tercera (20 - 26 de octubre) y cuadragésima segunda (13 - 19 de octubre) semana de 2025. Los mapas, que indican el grado de calentamiento o enfriamiento de una semana a otra, provienen de OSTIA-UKMO-L4-GLOB-v2.0 (UK Met Office, 2012; Donlon et al, 2012).

Con respecto a la semana anterior (Figura 4b), la TSM presentó un incremento distribuido ampliamente desde el sector ecuatorial hacia la costa norte de Chile, alcanzando su mayor intensidad (3° C) hacia el noroeste de Paita. Hacia el sur, predominaron incrementos entre $0,5$ y 1° C.

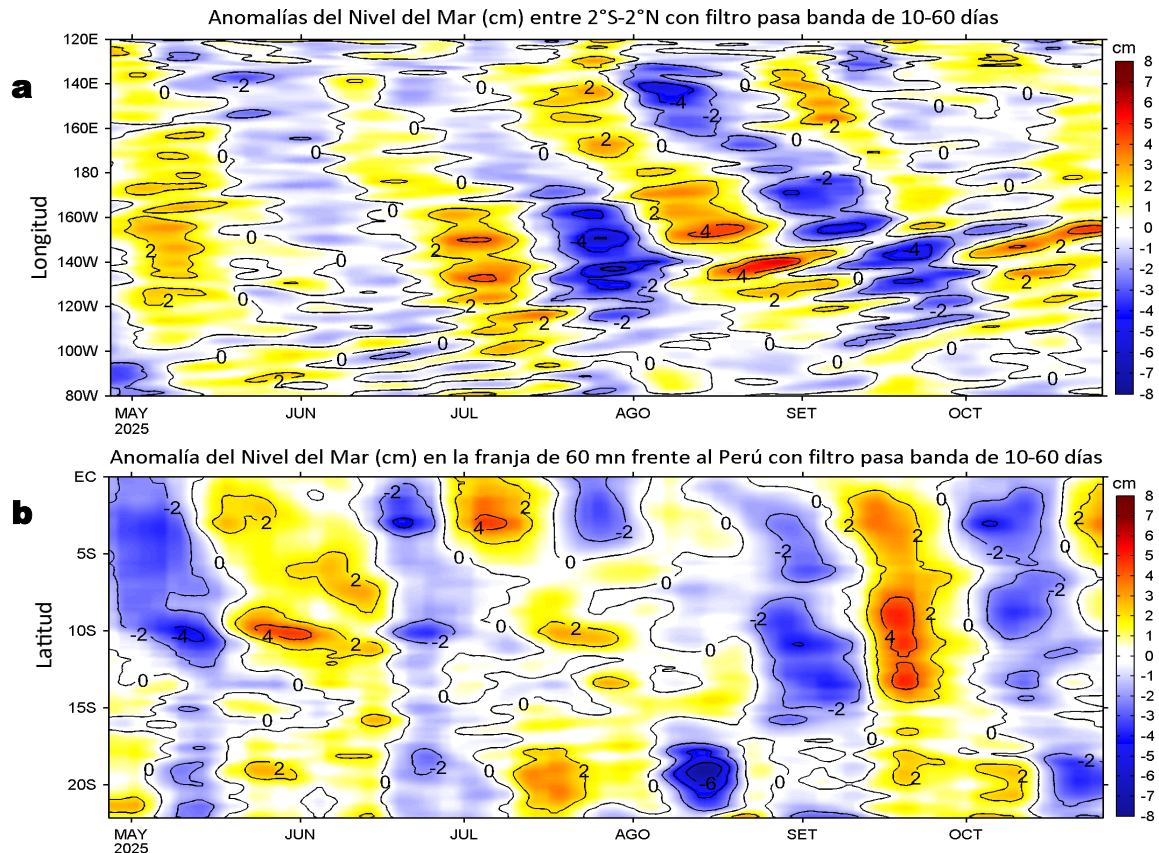


Figura 5. Anomalías diarias del nivel del mar (cm) con filtro pasa banda de 10-60 días para: a) la franja de 2° S- 2° N en el Pacífico ecuatorial y b) la franja de 60 mn adyacente a la costa entre el ecuador geográfico y 22° S, actualizado al 26 de octubre del 2025. Datos: CMEMS-DUACS. Climatología: 1993-2020.

En el Pacífico ecuatorial, las anomalías de nivel del mar (ANM) filtradas positivas indican el arribo de la OK cálida hacia la costa sudamericana con una intensidad debilitada al cruzar los 100° W. Sin embargo, frente a la costa, las ANM filtradas muestran un incremento significativo al norte de Huarmey, indicando el arribo de la onda Kelvin cálida hacia la costa norte del Perú.

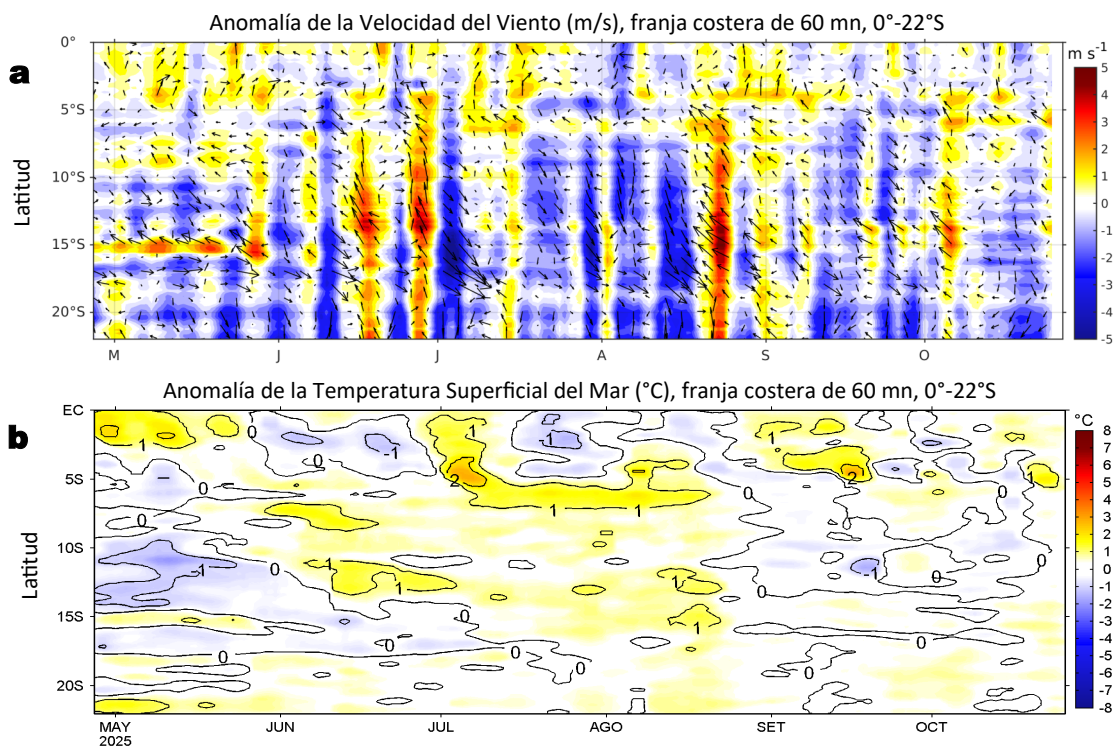


Figura 6. Evolución de las anomalías diarias de: a) Velocidad del viento (m/s) y b) TSM (°C) de abril al 26 de octubre del 2025. Datos: CMEMS para (a) y OSTIA-UKMO-L4-GLOB-v2.0 para (b). Las anomalías fueron calculadas para una franja de 60 mn adyacente a la costa entre el ecuador geográfico y 20°S para (a) y 22°S para (b), según los promedios diarios de 2000-2020 para (a) y de 1991-2020 para (b). La barra de colores a la derecha muestra la escala de las anomalías en cada caso.

A lo largo de la franja costera se registraron anomalías negativas de la VV al inicio de la semana, mientras que hacia el final estas anomalías solo se registraron al sur de San Juan de Marcona (Figura 6a). Esto aunado al efecto de la OK cálida, favoreció al incremento de anomalías positivas focalizadas frente a Paita (+1,8 °C) a inicios de la semana, y la prevalencia de condiciones neutras hacia el sur (Figura 6b).

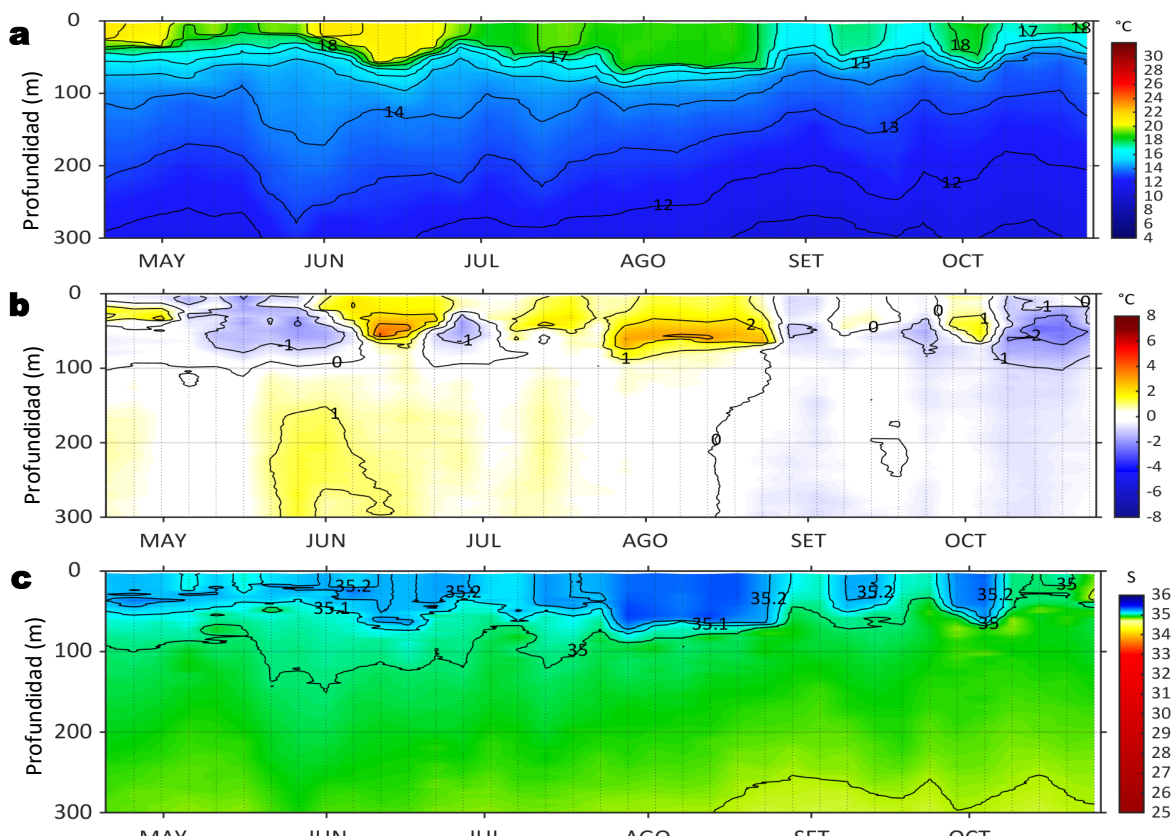
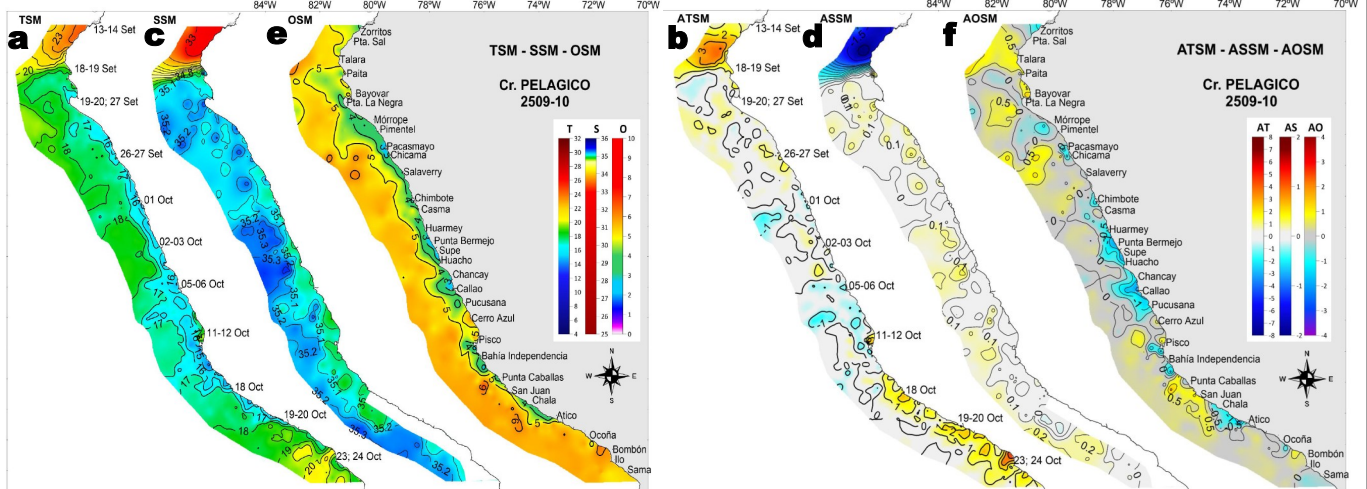


Figura 7. Diagrama Hovmöller de: a) Temperatura del mar (°C), b) Anomalías térmicas (°C) y c) Salinidad del mar registrados por el perfilador ARGO No. 3903004, a 43 mn (11,63°S y 78,22°W) frente a Huacho el día 24 de octubre del 2025. Las anomalías térmicas se calcularon de acuerdo a Domínguez et al (2023). Los puntos en la columna de agua indican los días en que el perfilador registró información. Datos: ARGO.

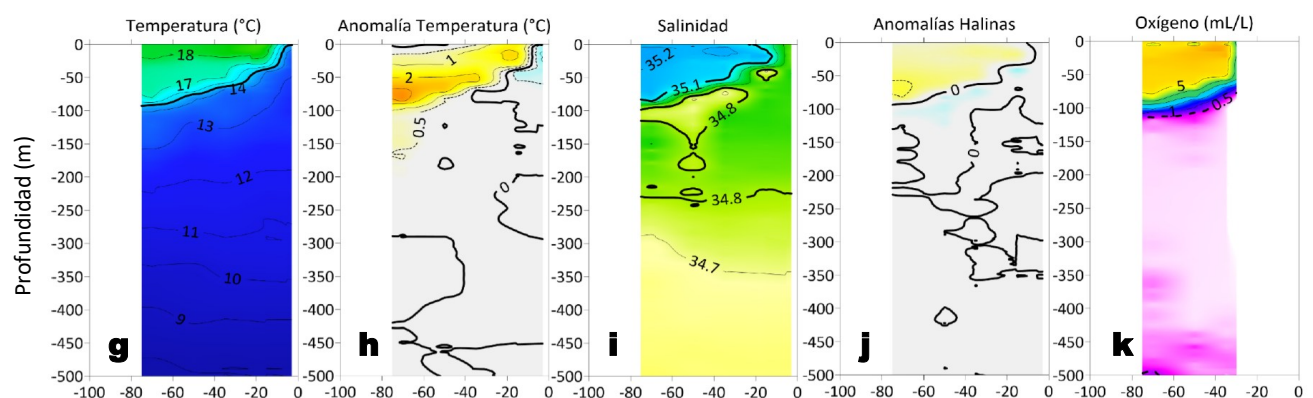
A 43 mn frente a Huacho el 24 de octubre, la TSM fue 18,2 °C (+0,3 °C), y la salinidad superficial fue 34,84. En la columna las anomalías frías se debilitaron levemente, con valores entre -1,9 °C (52 m) y -0,5 °C entre los 15 y 100 m.

IIA. CONDICIONES REGISTRADAS EN MONITOREO BIO-OCEANOGRÁFICO



Sección: Atico (19 y 21 de octubre, 2025).

Embarcación: BIC Humboldt y BIC Flores.



Sección: Ilo (23 y 24 de octubre, 2025).

Embarcación: BIC Humboldt y BIC Flores.

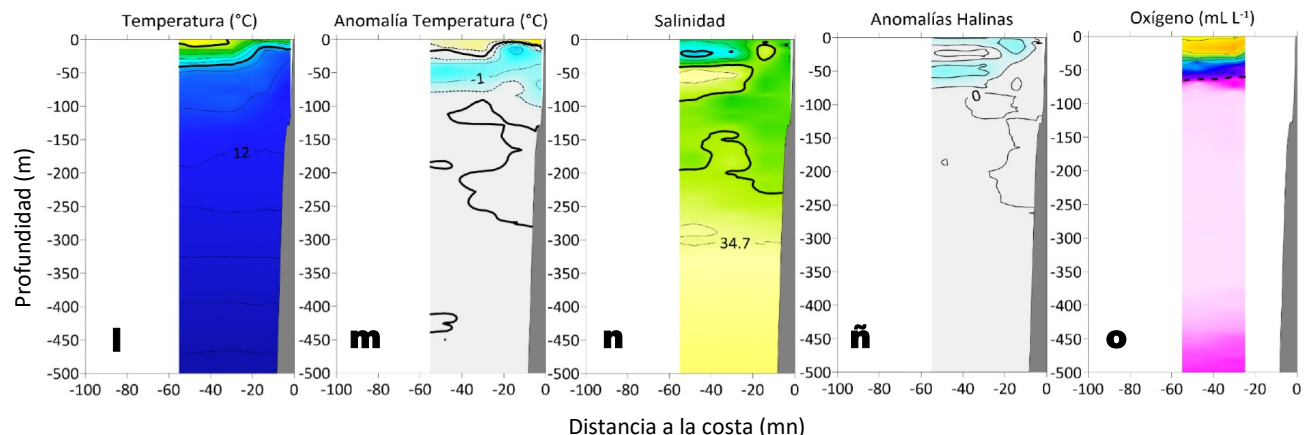


Figura 8. Distribución a nivel superficial de la a) temperatura (°C), b) anomalías térmicas (°C), c) salinidad, d) anomalías halinas, e) oxígeno (mL/L) y f) anomalía del oxígeno; así como la estructura vertical de la: g, l) temperatura (°C), h, m) anomalías térmicas (°C), i, n) salinidad, j, ñ) anomalías halinas y k, o) oxígeno (mL/L); registradas durante el “Crucero de Evaluación Hidroacústica de la Anchoveta y Otros Recursos Pelágicos, Cr. 2509-10”, entre el 19 y 24 de octubre de 2025, a bordo del BIC Humboldt y BIC Flores. Las anomalías se calcularon de acuerdo a Domínguez et al (2023).

La información *in situ* registrada por el IMARPE durante la última semana, entre Atico y Morro Sama, indicó un incremento en la TSM, predominando en la zona valores entre 18 y 20 °C, con una amplia extensión de anomalías positivas >+1 °C y alcanzando a +3 °C cerca de Ilo. Asimismo se encontró una amplia extensión de SSM > 35,20 con anomalías halinas de hasta +0,2 asociadas a anomalías positivas débiles de concentración de oxígeno en superficie (Figura 8 a-f). En subsuperficie, frente a Atico (Figura 8 g-k) se observó, dentro de las 60 mn, el ascenso de la isoterma de 15 °C hacia la costa y la presencia inusual de una cuña de ASS hasta las 20 mn, asociada a anomalías térmicas de hasta +3 °C. En Ilo (Figura 8 l-o) se detectaron ligeras anomalías positivas en superficie y anomalías negativas de temperatura entre los 30 y 70 m de profundidad. La salinidad mostró presencia de ACF dentro de las 30 mn desde la superficie hasta los 150 m de profundidad.

III. ÍNDICES CLIMÁTICOS Y BIOLÓGICO-PESQUERO

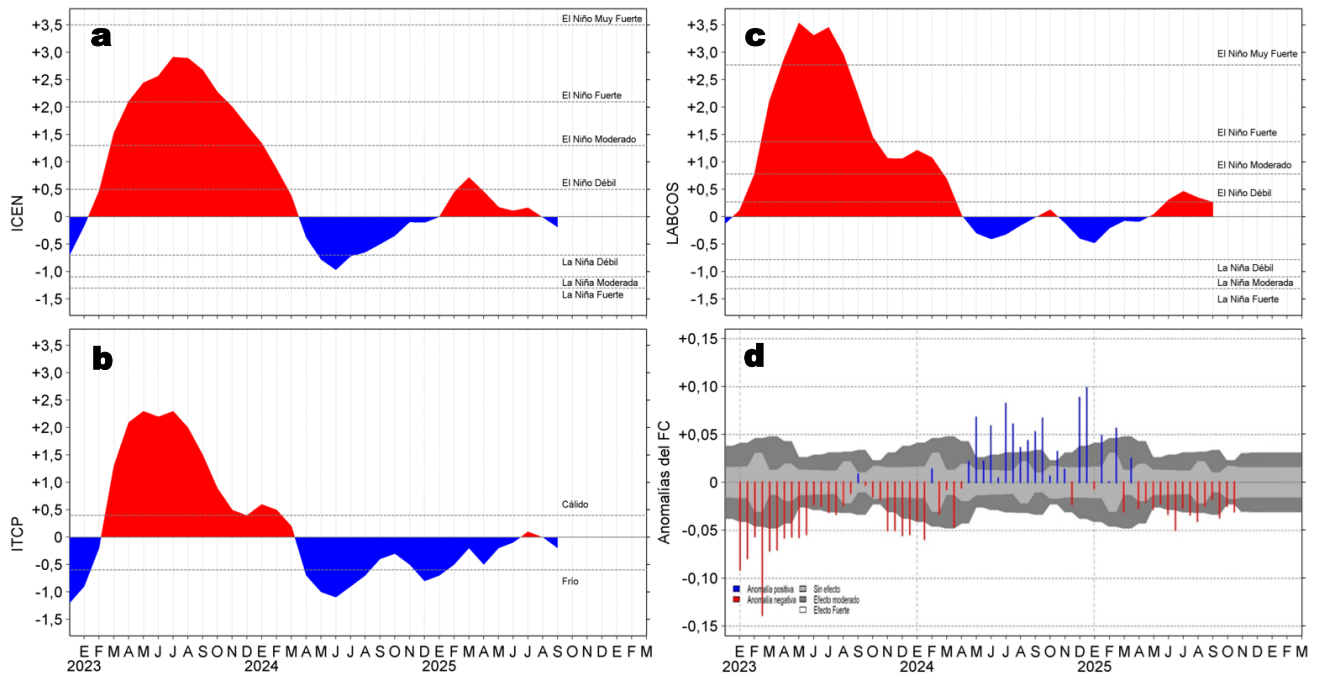


Figura 9. Series de tiempo de: a) Índice Costero El Niño (ICEN; ENFEN, 2024), b) Índice Térmico Costero Peruano (ITCP; Quispe et al., 2016), c) Índice de Laboratorios Costeros (LABCOS; Quispe y Vásquez, 2015) y d) Anomalías del índice del factor de condición (AFC) de la anchoveta peruana *Engraulis ringens* (Cuba et al., 2019) desde diciembre 2022 hasta septiembre del 2025.

Con respecto a la condición somática de la anchoveta *Engraulis ringens*, en lo que va de octubre, la anomalía del factor de condición presentó un valor negativo de efecto fuerte (Figura 9d).

IV. ASPECTOS BIOLÓGICO-PESQUEROS

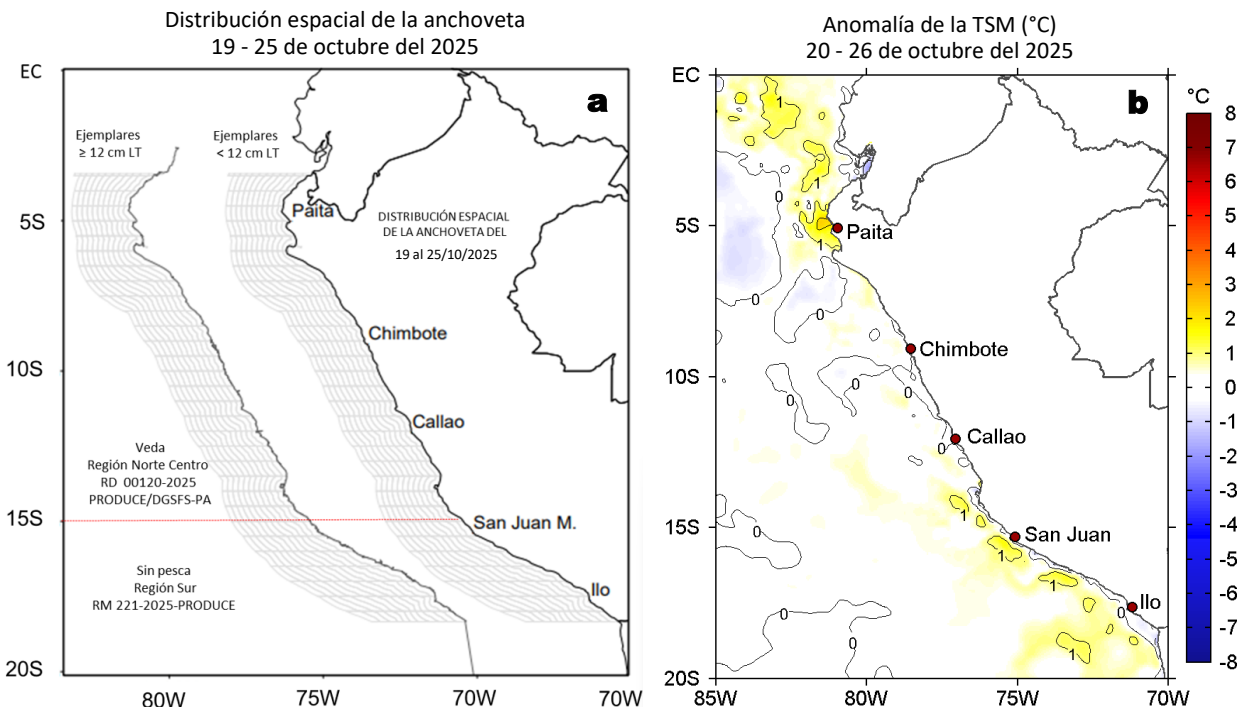


Figura 10. a) Distribución de la anchoveta según porcentaje de juveniles por región y su relación con b) las anomalías térmicas ($^{\circ}\text{C}$) para la semana del 20 al 26 de octubre del 2025. Datos: OSTIA-UKMO-L4-GLOB-v2.0 (UK Met Office, 2012; Donlon et al, 2012). Las anomalías térmicas se calcularon con respecto de la climatología para el período 1991-2020.

Durante la presente semana, la región Norte-Centro no registró actividad pesquera debido al cierre de la primera temporada de pesca, mientras que, la región Sur continuó sin registrar actividad (Figura 10a). En términos de la TSM, frente a la costa peruana destacó el incremento de anomalías positivas, distribuidas ampliamente frente a la costa norte y sur (Figura 10b).

V. PRONÓSTICO

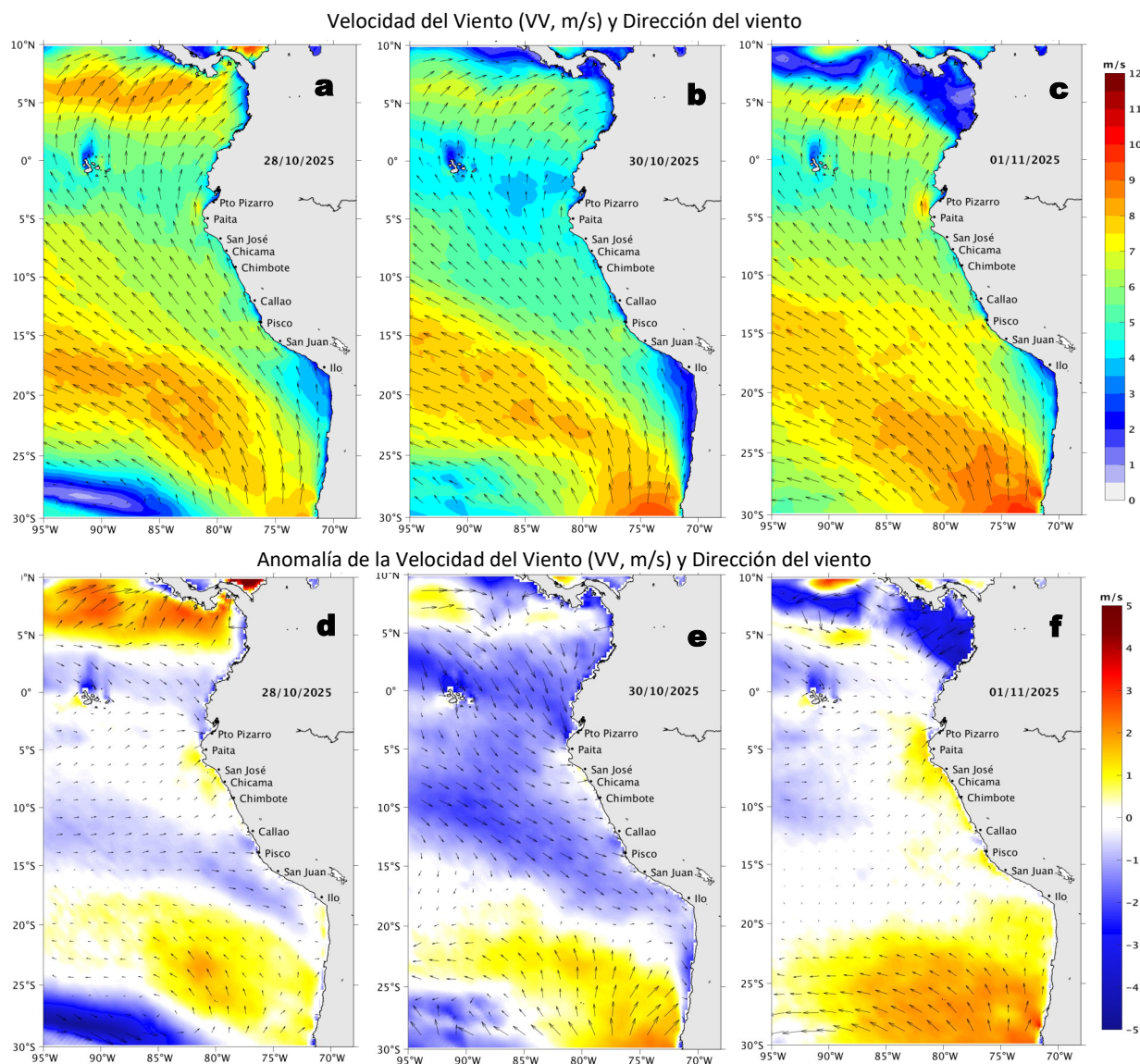


Figura 11. Distribución espacial del pronóstico de la velocidad del viento (VV, m/s) y dirección del viento ($^{\circ}$), así como para sus anomalías para los días a) 28 y b) 30 de octubre y c) 01 de noviembre de 2025, frente a la costa sudamericana entre Centroamérica y la costa norte de Chile. Fuente: Modelo Climate Forecast System (GFS) de la NOAA. Climatología: 2000-2020.

Del 28 de octubre al 02 de noviembre, entre Máncora y Atico, se espera que la VV se mantenga en el rango moderado a fuerte en el sector oceánico y moderado en la costa central. Fuera de esta zona y en la franja muy costera persistirían VV débiles a moderadas. Los días 28 y 29 se prevén anomalías positivas de la VV frente a la costa centro-norte y anomalías negativas frente a la costa centro-sur. Durante los días 30 y 31 se esperan anomalías negativas frente a toda la costa peruana, mientras que los días 1 y 2 de noviembre predominarían anomalías positivas en la franja costera.

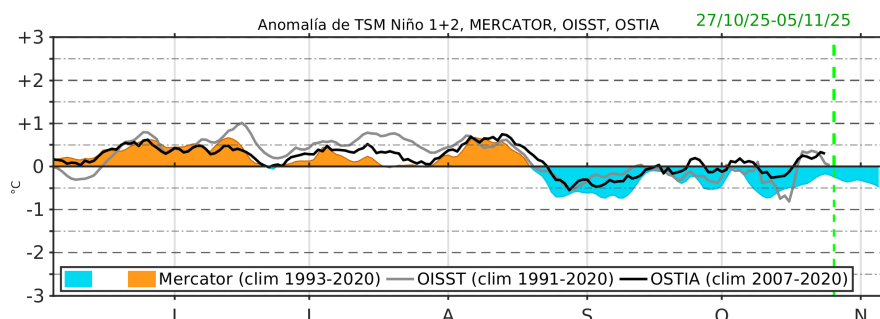


Figura 12. Series de tiempo de la anomalía de TSM diaria en la región Niño 1+2, obtenidas a partir del modelo MERCATOR a escala diaria (sombreado celeste y naranja), el producto OISST (línea gris) y el producto OSTIA (línea negra), a partir del promedio climatológico de 1993-2020, 1991-2020 y 2007-2020, respectivamente. La línea discontinua vertical de color verde indica la fecha de inicio del pronóstico de las anomalías de TSM según MERCATOR.

De acuerdo con el modelo MERCATOR, en la región Niño 1+2, hasta el 05 de noviembre se espera la presencia de anomalías negativas de TSM dentro del rango neutro.

Condiciones iniciales: 21-24 de octubre, 2025

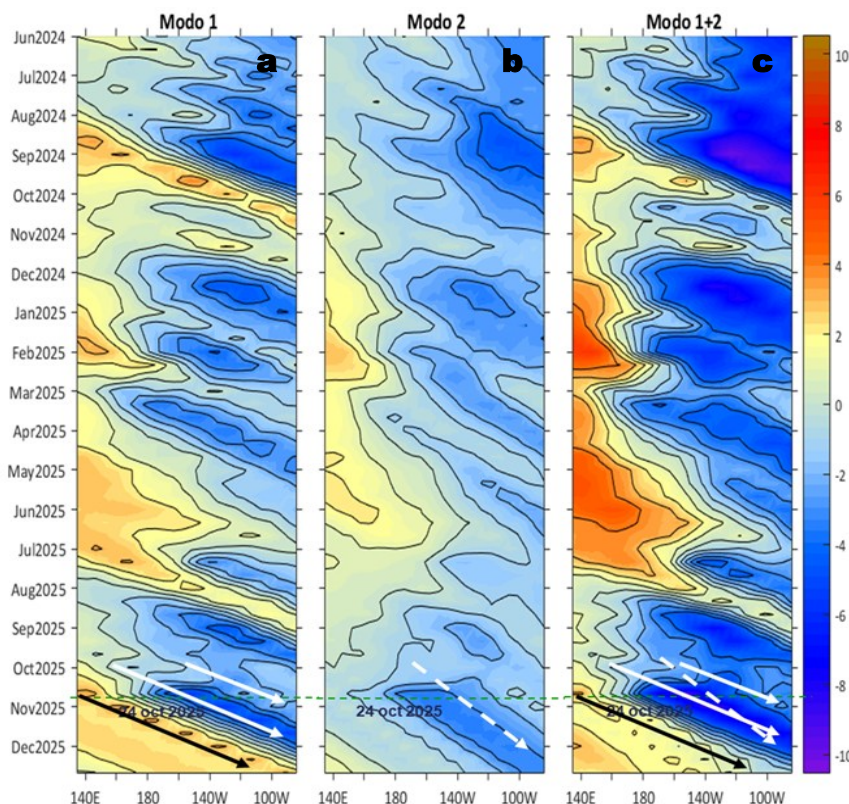


Figura 13. Diagramas Hovmöller longitud-tiempo de las ondas Kelvin ecuatoriales (OKE) en el océano Pacífico ecuatorial entre 130°E y 95°W y en la banda entre 1°N-1°S, forzado con anomalías del esfuerzo del viento (N/m^2) del NCEP (Kalnay et al., 1996) de acuerdo con la metodología de Illig et al. (2004) y Dewitte et al. (2002): a) Modo 1, b) Modo 2 y c) Modos 1+2. La línea discontinua horizontal de color verde indica la fecha del inicio del pronóstico con anomalías del esfuerzo del viento igual a cero. Los valores negativos corresponden a ondas Kelvin de afloramiento (frías) y están representadas por flechas discontinuas de color blanco. Los valores positivos corresponden a ondas Kelvin de hundimiento (cálidas) cuya propagación está representada por flechas de color negro sólido (modo 1) y discontinuo (modo 2). Datos del modelo: LMOECC/AFOF/DGIOCC/IMARPE.

La última simulación del modelo de ondas Kelvin ecuatoriales (OKE) implementado en el IMARPE, forzada con anomalías del esfuerzo del viento ecuatorial superficial obtenidas del NCEP al 24.10.2025, señala que la OK ecuatorial fría (modo 1), mencionada en el boletín anterior, alcanzará al extremo oriental del Pacífico ecuatorial entre lo que resta de octubre e inicios de noviembre. Asimismo, se espera que se fortalezcan las otras dos OK ecuatoriales frías (modo 1 y modo 2), mencionadas en el BS OBP N°41-2025 y en el BS OBP N°40-2025, respectivamente, debido a las anomalías de vientos del este, alcanzando el extremo oriental del Pacífico ecuatorial entre noviembre y diciembre. Por último, cabe señalar que la OK ecuatorial cálida (modo 1), también mencionada en el boletín anterior, continúa su propagación hacia el este, y se espera que arribe al extremo oriental del Pacífico ecuatorial entre diciembre 2025 y enero 2026.

RECONOCIMIENTOS

The Group for High Resolution Sea Surface Temperature (GHRSST) Multi-scale Ultra-high Resolution (MUR) Level 4 OSTIA Global Foundation Sea Surface Temperature Analysis (GDS version 2). Ver. 2.0 data were obtained from the NASA EOSDIS Physical Oceanography Distributed Active Archive Center (PO.DAAC) at the Jet Propulsion Laboratory, Pasadena, CA (<http://dx.doi.org/10.5067/GHGMR-4FJ01>).

IFREMER/CERSAT. 2005. ERS-1 Level 3 Gridded Mean Wind Fields (IFREMER). Ver.1.PO.DAAC, CA, USA (ftp://anonymous@ftp.ifremer.fr/ifremer/cersat/products/gridded/mwf-ers1).

The Ssalto/Duacs altimeter products were produced and distributed by the Copernicus Marine and Environment Monitoring Service (CMEMS) (<https://data.marine.copernicus.eu/products>).

The products from the MERCATOR OCEAN system distributed through the Marine Copernicus Service (<https://data.marine.copernicus.eu/products>).

The Pacific Islands Ocean Observing System (PacIOOS) is funded through the National Oceanic and Atmospheric Administration (NOAA) as a Regional Association within the U.S. Integrated Ocean Observing System (IOOS). PacIOOS is coordinated by the University of Hawaii School of Ocean and Earth Science and Technology (SOEST).

Las anomalías del índice de factor de condición fueron determinadas a partir de información brindada por el Laboratorio de Biología Reproductiva de la sede central de IMARPE.

Este boletín es una acción del Programa Presupuestado Por Resultados - PPR 068 El Niño “Reducción de Vulnerabilidad y Atención de Emergencias por Desastres” y su producto “Entidades Informadas en forma permanente y con pronósticos frente al Fenómeno El Niño” del IMARPE.

REFERENCIAS

- Cuba, A., Sánchez, J., Mori, J., & Chávez, G. (2019). Anomalías de los índices reproductivos fracción desovante e índice gonadosomático de anchoveta peruana *Engraulis ringens* (Jenyns, 1842) del stock norte-centro del Perú en relación a El Niño Costero 2017. *The Biologist*, 17(2).
- Dewitte B., D. Gushchina, Y. du Penhoat and S. Lakeev, 2002: On the importance of subsurface variability for ENSO simulation and prediction with intermediate coupled models of the Tropical Pacific: A case study for the 1997-1998 El Niño. *Geoph. Res. Lett.*, vol. 29, no. 14, 1666, 10.1029/2001GL014452.
- Donlon, C. J., M. Martin, J. Stark, J. Roberts-Jones, E. Fiedler, W. Wimmer, 2012. The Operational Sea Surface Temperature and Sea Ice Analysis (OSTIA) system. *Remote Sen. Env.*, 116, 140-158.
- ENFEN, 2024. Definición operacional de los eventos El Niño Costero y La Niña Costera en el Perú. Nota Técnica. <https://enfen.imarpe.gob.pe/download/nota-tecnica-enfen-01-2024-definicion-operacional-de-los-eventos-el-nino-costero-y-la-nina-costera-en-el-peru/?wpdmdl=1905&ind=1733921744133>
- ENFEN, 2025. Informe Técnico ENFEN. Año 11, N° 12, 15 de octubre del 2025, 93 p. <https://enfen.imarpe.gob.pe/download/informe-tecnico-enfen-ano-11-n12-al-15-de-octubre-de-2025/?wpdmdl=1966&refresh=68f2a93c071551760733500>
- Hobday, A. J., Alexander, L. V., Perkins, S. E., Smale, D. A., Straub, S. C., Oliver, E. C. J., ... Wernberg, T. (2016). A hierarchical approach to defining marine heatwaves. *Progress in Oceanography*, 141, 227–238. doi:10.1016/j.pocean.2015.12.014
- Illig, S., B. Dewitte, N. Ayoub, Y. du Penhoat, G. Reverdin, P. De Mey, F. Bonjean and G. S. E. Lagerloef, 2004: Interannual Long Equatorial Waves in the Tropical Atlantic from a High Resolution OGCM Experiment in 1981-2000, *Journal of Geophysical Research*, 109, C02022, doi:10.1029/2003JC001771.
- Kalnay, E., M. Kanamitsu, R. Kistler, W. Collins, D. Deaven, L. Gandin, M. Iredell, S. Saha, G. White, J. Woollen, Y. Zhu, A. Leetmaa, B. Reynolds, M. Chelliah, W. Ebisuzaki, W. Higgins, J. Janowiak, K. Mo, C. Ropelewski, J. Wang, R. Jenne, and D. Joseph, 1996: The NCEP/NCAR 40-Year Reanalysis Project. *Bull. Amer. Meteor. Soc.*, 77, 437–471.
- Kobayashi S, Ota Y, Harada Y, Ebita A, Moriya M, Onoda H, Onogi K, Kamahori H, Kobayashi C, Endo H, Miyaoka K, Takahashi K (2015) The JRA-55 reanalysis: general specifications and basic characteristics. *J Meteor Soc Jpn* 93: 5–48.
- Lellouche, J.-M., Le Galloudec, O., Drévillon, M., Régnier, C., Greiner, E., Garric, G., Ferry, N., Desportes, C., Testut, C.-E., Bricaud, C., Bourdallé-Badie, R., Tranchant, B., Benkiran, M., Drillet, Y., Daudin, A., and De Nicola, C.: Evaluation of global monitoring and forecasting systems at Mercator Océan, *Ocean Sci.*, 9, 57-81, 2013.
- Perea, A., B. Buitrón, J. Mori, J. Sánchez, C. Roque, 2015. Anomalías de los Índices reproductivos de anchoveta *Engraulis ringens* en relación al ambiente. En: Boletín Trimestral Oceanográfico, Volumen 1, Números 1-4, pp.: 27-28.
- Pietri, A., Colas, F., Mogollon, R., J. Tam & D. Gutierrez. Marine heatwaves in the Humboldt current system: from 5-day localized warming to year-long El Niños. *Sci Rep* 11, 21172 (2021). <https://doi.org/10.1038/s41598-021-00340-4>
- Quispe Ccallauri, C, J. Tam, H. Demarcq, C. Romero, D. Espinoza, A. Chamorro, J. Ramos, R. Oliveros, 2016. El Índice Térmico Costero Peruano. En: Boletín Trimestral Oceanográfico, Volumen 2, Número 1, pp: 7-11.
- Quispe-Ccallauri C, Tam J, Arellano C, Chamorro A, Espinoza-Morriberón D, Romero C, Ramos J. 2015. Desarrollo y aplicación de índices y simulaciones para la vigilancia y el pronóstico a mediano plazo del impacto del ENOS frente a la costa peruana. *Inf. Inst. Mar Perú*, Vol. 44(1):28-34. <https://biblioimarpe.imarpe.gob.pe/handle/20.500.12958/3149>
- Quispe, J. y L. Vásquez, 2015. Índice “LABCOS” para la caracterización de evento El Niño y La Niña frente a la costa del Perú, 1976-2015. En: Boletín Trimestral Oceanográfico, Volumen 1, Números 1-4, pp.: 14-18.

El Boletín Semanal Oceanográfico y Biológico-Pesquero (BS-OBP) presenta la evolución de variables físicas en el océano y la atmósfera, de la estructura físico-química del océano frente a la costa norte-centro del Perú en un contexto temporal de corto plazo y en un marco local-regional. El objetivo del BSOBP es comprender los efectos de la variabilidad de macroescala y regional de corto plazo en las condiciones oceanográficas y biológico-pesqueras del mar peruano. Esta información se sustenta en las redes observacionales in situ que administra el IMARPE y que se ha fortalecido en el marco del Programa Presupuesto Por Resultados - PPR 068 El Niño “Reducción de Vulnerabilidad y Atención de Emergencias por Desastres” y su producto “Entidades Informadas en forma permanente y con pronósticos frente al Fenómeno El Niño” del Estado Peruano. Asimismo, esta información local se complementa con un repertorio de productos satelitales y con mediciones directas de equipamiento de programas y proyectos internacionales con el fin de lograr un análisis integrado del estado del océano. El BS-OBP, asimismo, pretende informar de forma oportuna y permanente sobre el estado del océano a diferentes grupos de interés y sociedad en general y contribuir a mejorar el conocimiento del mar peruano y coadyuvar a la gestión del riesgo de desastres del Estado Peruano.

Servicio de Información Oceanográfica del Fenómeno El Niño (SIOFEN)
Instituto del Mar del Perú (IMARPE)

IMARPE (2025). Boletín Semanal Oceanográfico y Biológico-Pesquero N°43-2025, 20 - 26 de octubre de 2025, Callao, Instituto del Mar del Perú.

<https://siofen.imarpe.gob.pe/boletines-e-informes/BS-OBP>

Colaboradores: Katherine Vásquez, Dimitri Gutiérrez, Daniel Camarena, Tony Anculle, Carlos Quispe, Walter García, Javier Sánchez, Dany Ulloa, Cecilia Peña, Jorge Quispe y Cristhian Asto.

Colaboradores en monitoreo *in situ*: Daniel Quispe, Jonathan Correa, Sergio Bances, Edinson Torpoco, Dekar Hernández, David Bayona y Fabián Rojas.

© 2025 Instituto del Mar del Perú

Suscripciones: Complete [este formulario](#) o escriba a siofen@imarpe.gob.pe.

Consultas:

Servicio de Información Oceanográfica del Fenómeno El Niño, SIOFEN

Laboratorio de Hidrofísica Marina/AFIOF

Dirección General de Investigaciones Oceanográficas y Cambio Climático

Instituto del Mar del Perú

Esquina Gamarría y General Valle S/N, Chucuito, Callao - Perú.

Correo electrónico: siofen@imarpe.gob.pe.

Teléfono: (51 1) 904 0137 (Extensión 824).

Foto en la portada: Mar peruano (© M. Sarmiento/IMARPE).